

III-139 アーチ作用のメカニズムヒトンネル土圧について

京都大学防災研究所 正員 村山朝郎

〃 〃 松岡 元

佐藤工業 K.K. (元京大生) 〃 深尾元昭

我々はこの数年来トンネル土圧の発生機構の解明とその計算法の確立を目的として研究を続けてきたが、ニコでは地盤中の局部沈下部上方に形成されるアーチ作用 (arch action; anchoring) のメカニズムを明確に規定し、アーチ作用との関係においてトンネル側壁部の内方へのはりみ出レやトンネル直上地盤の地表面掘削・盛土がトンネル土圧におよぼす影響について実験的に検討した。また、二の考え方へ従つてトンネル土圧の現場測定データを検討した。

1. アーチ作用のメカニズム

写真-1, 2 は降下床(落戸)に直結されたカメラで撮影したものであり、静止して鮮明に写っている部分が降下床と一体となって鉛直降下する地盤の領域であって、1次領域と名づける。この1次領域の形状は地盤の粒径および粒子配置、降下床の降下量などによつて多少変動するものであるが、ほぼ正三角形に外接する円弧状アーチで近似される。^{1), 2)} 写真-3は光弾性材料の丸棒($\phi 6.2, \pm 10\text{ mm}$)の積層体を用いて行なった降下床模型の光弾性実験の写真であつて、降下床をまたぐアーチ状の粒子間力の伝達線が形成されるのがみられる。

二の写真より、力がほとんど伝達されなくほつたアーチ以下の部分はほぼ1次領域の形状と一致するようである。写真-4はガラス板の間に流動パラフィン³⁾飽和させた砂を入れ底板の一部をはさんだものであるが、1次領域に対応する部分がきれいにぬけてアーチが形成されるのがみられる。なお、流動パラフィンは砂粒子の運動を緩慢にするために加えたものである。また図-1は Z. Getzler⁵⁾が地盤を弾性体と仮定し差分法(finite-difference method)によつて求めた主応力の軌跡であるが、アーチ状の最大圧縮主応力線が認められ、この図からは判読しづらいがそれに直交する方向には引張主応力が発生するとい述べられていく。もし地盤が土であれば引張には抵抗できないので、力を受け持つず落下するであろう。

以上の二点より、降下床上のアーチ作用の発生機構を考察すれば次のようになる。降下床の降下により1次領域はその物理的意味から直ちにそれと同一の沈下をするので、1次領域外周部の土粒子は一齊に1次領域に追従しよう

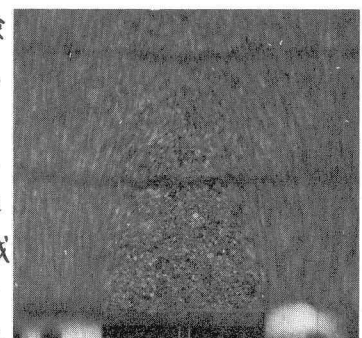


写真-1 1次領域(砂)

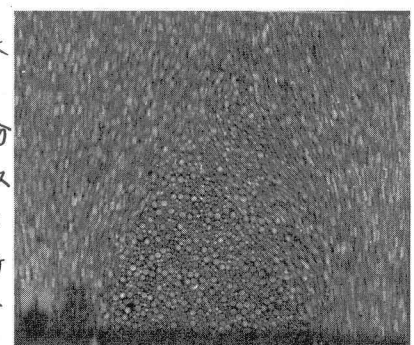


写真-2 1次領域(アルミニウム積層体)

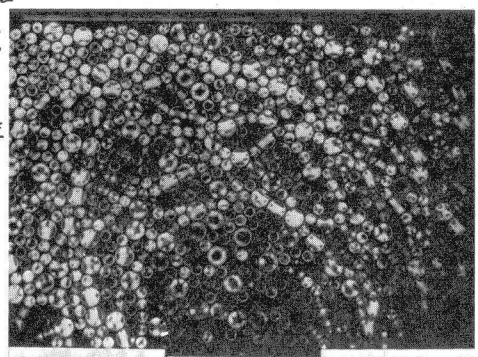


写真-3 アーチ状の粒子間力の伝達状況

とする。この結果、アーチ状の1次領域外周部に沿って一時的には土粒子の閉そく状態が生じ、いままで真下に伝達された力の大部分はその伝達方向を1次領域外周部に求め、アーチ状の粒子間力の伝達線が形成されるものと考えられる。さうに一般的的に記述すれば、アーチ作用という現象は降下床を降下させるという境界条件により規定されるアーチ状の最大圧縮主応力線の形成と解釈することができる。したがって地盤材料の構成方程式と境界条件が与えられれば決定されるものである。ただ砂質土などの不連続体の場合はアーチ状の最大圧縮主応力線下の部分が抜けたアーチを形成することがあるので、これを特にアーチ作用と呼ぶべきものと考えられる。

2. トンネル側壁部の内方へのひりみ出しの影響

以前に降下床周辺部が降下床に対して相対的に沈下する場合には、ゆがみの沈下であることも非常に敏感に降下床に作用する荷重（降下床土圧と仮称する）に影響をおぼすことを述べ、トンネル現場でよくいわれる「地山をゆるめろな」という言葉のトンネル土圧の発生機構上も意味につけて考察した。^{1),4)} これは、トンネル側壁部の内方への水平変位はトンネル周辺部の沈下を意味する（写真-5参照）こと、および近年トンネル現場でこの水平変位の測定がなされるようになつたことに着目して、降下床上に写真-5に示すよう側壁部が内側へ変位可能な四角形のトンネル模型を置きアルミ棒積層体（Φ1.6, Φ3 mm）を地盤材料として模型実験を行なった。図-2に示すように、まず四角形のトンネル模型をのせた降下床を降下量 $\delta = 5 \text{ mm}$ まで降下させたのち（このとき壁面摩擦のためにトンネル模型は浮き上り降下床土圧 P は消滅した）、トンネル模型の側壁部を内方へ δ_H 水平変位させる。図-2より、 δ_H の増加とともに降下床土圧 P は急激に増加し土被り重量（ $\delta=0$ のときの P ）を超えるのがみられる（トンネル模型頂部に作用する荷重は降下床に伝達される機構による）。これは $\delta=5 \text{ mm}$ の降下量によって形成されたアーチ状の粒子間力の伝達線の支点の役目を行なっているトンネル模型の左右の地盤をゆるめたためと考えられる。したがって、実際のトンネルにおける側壁部の内方への変位量ヒトネル土圧とは密接に関係あるものと考えられ、地山を二のほうにゆるめることは土圧の増大をまぬぐと推察される。

3. トンネル直上地盤の地表面掘削・盛土の影響

近年、地下鉄網の移動とともに既設トンネルに近接して

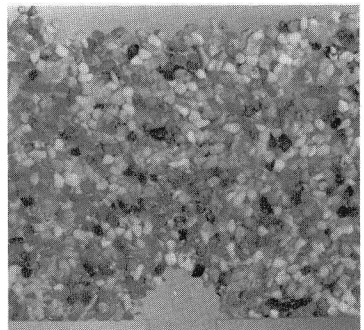


写真-4 完全なアーチの形成

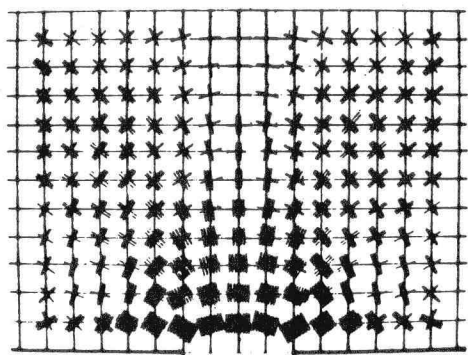


図-1 アーチ状の最大圧縮主応力軌跡 (Golder's 1973)

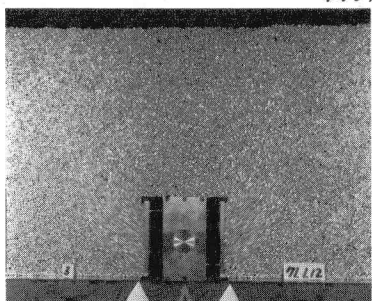


写真-5 トンネル側壁部の内方変位

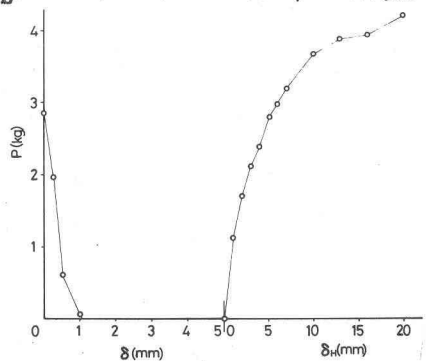


図-2 $P \sim \delta$, $P \sim \delta_H$ 関係

掘削、盛土等の搅乱が与えられる場合が多くみうけられる。ニニ²は、1. 2述べたアーチ作用のメカニズムに照して、降下床の降下により最小値に達した降下床土圧が、降下床直上の地表面掘削、地表面盛土によってどのように変化するかをアルミ棒積層体を地盤材料とした模型実験によて検討した。図-3は降下床を $\delta=5 \text{ mm}$ まで降下させた状態で地表面を徐々に削り取った場合の降下床土圧の値を示したものである。この図から判断すれば、大きな振動等の搅乱を与えない限り地表面の掘削は降下床土圧の値にあまり大きな変化を与えないようであり、掘削が進んで掘削深さ ΔD が約 18.8 cm (図中に矢印で示す) にあたり土被りが1次領域の高さ(降下床幅 $B=10 \text{ cm}$ のときは約 8.7 cm)まで薄くなれば“急激に減少し始める”のがみられる(この図の初期の土被り D は 27.5 cm である)。また図-4は降下床を $\delta=3.5 \text{ mm}$ まで降下させた状態で地表面上に仕切り壁ハサードに 5 cm の盛土をし、その後再び降下床を 0.25 mm 降下させた場合の降下床土圧の変化を示している。この図より地表面盛土をすればその盛土荷重の何割けが降下床土圧とアーチ作用あるが、降下床のわずかの降下により再びその値にモーダルニヒがわかる。このことは写真-3に示すように光弾性実験でも確かめられたことである。すなわち、降下床の降下により発生したアーチ状の光弾性縞は、上載荷重の増加によって一部乱れて1次領域内に達する部分が多くなるが、その後の降下床の降下によって再び明確なアーチ状の光弾性縞が形成されるのが観察された。このようなことは、アーチ作用が非常にデリケートな現象であることを示している。

4. 降下床幅の広い場合の降下床模型実験

参考文献1)に詳説したように、降下床に作用する荷重は近似的には1次領域の重量であると仮定しても大きな誤差はないようである。このことはアルミ棒積層体(降下床幅 B が最大 20 cm まで)およびゆる詰め乾燥砂(降下床径が最大 20 cm まで)についての降下床模型実験データから確かめられている。

地盤材料の粒径と降下床幅の関係はアーチ作用に影響を及ぼす1つの要因にはなりうるとの考え方から、ニニ²は降下床幅をさすに広く $B=50 \text{ cm}$ まで拡大して同様の降下床模型実験を行なった。その結果を図-5に示す。降下床土圧 P は降下床の降下とともにあって急激に低下し最小値に達した後は、降下床上のくぼみにたまたまアルミ棒の重量を差し引けば“ほぼ一定値を保つ”ことがわかる。ニニ²のことは $B=10 \text{ cm}$ 程度の通常の場合とほぼ同じ傾向である。ただし、 $B=50 \text{ cm}$ の場合は通常の場合と比べて降下床土圧を最小にする降下量 δ の値が少々大きいようである。この降下床土圧の測定値(最小値)は約 16.5 kg であり、ニニ²に對して1次領域の重量を計算すれば 16.585 kg となり、両者はよく一致する。以上の二点から、降下床幅の広い降下床の場合でも粒径の小さな砂の場

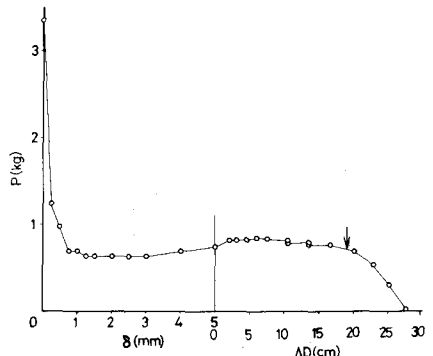


図-3 地表面掘削の影響; $P \sim \delta$, $P \sim \Delta D$ 関係

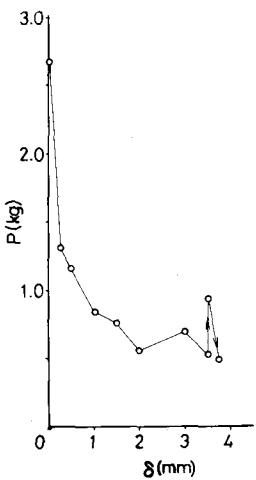
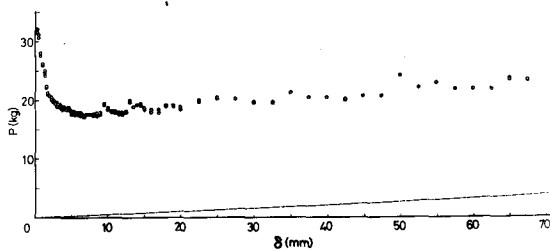


図-4 地表面盛土の影響; $P \sim \delta$ 関係



参考文献1)に詳説したように、降下床に作用する荷重は近似的には1次領域の重量であると仮定しても大きな誤差はないようである。このことはアルミ棒積層体(降下床幅 B が最大 20 cm まで)およびゆる詰め乾燥砂(降下床径が最大 20 cm まで)についての降下床模型実験データから確かめられている。

地盤材料の粒径と降下床幅の関係はアーチ作用に影響を及ぼす1つの要因にはなりうるとの考え方から、ニニ²は降下床幅をさすに広く $B=50 \text{ cm}$ まで拡大して同様の降下床模型実験を行なった。その結果を図-5に示す。降下床土圧 P は降下床の降下とともにあって急激に低下し最小値に達した後は、降下床上のくぼみにたまたまアルミ棒の重量を差し引けば“ほぼ一定値を保つ”ことがわかる。ニニ²のことは $B=10 \text{ cm}$ 程度の通常の場合とほぼ同じ傾向である。ただし、 $B=50 \text{ cm}$ の場合は通常の場合と比べて降下床土圧を最小にする降下量 δ の値が少々大きいようである。この降下床土圧の測定値(最小値)は約 16.5 kg であり、ニニ²に對して1次領域の重量を計算すれば 16.585 kg となり、両者はよく一致する。以上の二点から、降下床幅の広い降下床の場合でも粒径の小さな砂の場

合でも、降下床土圧はほぼ同様のメカニズムに由来が規定されているようである。

5. チューブル土圧の現場測定データの検討

チューブル土圧は、本来ならば地山材料の構成方程式を決定し、それをそれまでの境界条件に合わせて解くことによって算定すべきである。しかししながら、自然物であるチューブル地山の地質構成は非常に複雑でその構成方程式を決定するには現状では極めて困難であり、またその境界条件も施工法等により著しく異なるものであるから厳密な意味でチューブル土圧を算定することはほとんど不可能に近い。そこでチューブル掘削によっても降下床のようは単純な肩部沈下が生ずるものと仮定し、降下床土圧との関連におけるチューブル土圧の推定式を導き現場測定データと比較してみた。降下床土圧と同様にチューブル土圧も近似的に1次領域の自重に等しいものと仮定すれば、1次領域は正三角形に外接する円弧アーチ²⁾、チューブルの上半部は半円³⁾に近似できるので（図-6 参照）、チューブル土圧（=作用荷重）Pは次式⁴⁾で与えられる。

$$P = 0.62 \gamma B^2 L - \pi/8 \gamma B^2 L \quad \gamma: \text{地山の単位体積重量}, B: \text{チューブル掘削幅}, L: \text{奥行き長さである}.$$

チューブル土圧の換算死荷重高さ H は、

$H = P / \gamma B L = 0.23 B$ となる。図-7 は支保工⁵⁾の両脚に入れた支柱式ロードセルの測定値から計算した H と上半掘削幅 B の関係⁶⁾をプロットしたものである。

比較的砂質的な地山（砂礫、砂質岩、シラス等）のチューブルを選んだが、X印のプロットは土砂（ローム）の地山である。図中の直線は $H = 0.23 B$ を示すが、この

5箇所のチューブル（図中にプロットの印の違いを示す）における 8 個の測定データとはほぼ良好な対応を示している。このデータよりから全20のチューブルにおける上記の単純なメカニズムを想定することは早計であるが、砂質的な地山で適切な施工を行なった場合のチューブル土圧の一つの目安にはりえないかと考えている。今後の現場測定データの蓄積を待ちたい。

謝辞 光弾性実験に関してご協力をいただいた京大・土木・丹羽研究室の方々に感謝致します。

- 参考文献
- 1) 村山朝郎・松岡元：砂質土中のチューブル土圧に関する基礎的研究、土木学会論文報告集第187号、1971, pp. 95-108.
 - 2) 村山朝郎・松岡元：粒状土地盤の肩部沈下現象について、土木学会論文報告集第172号、1969, pp. 31-41.
 - 3) Grisley, Z., Gellert, M. and Eitan, R.: "Analysis of Arching Pressures in Ideal Elastic Soil", Proc. A.S.C.E. SM4, 1970, pp. 1357-1372.
 - 4) 村山朝郎・松岡元：チューブル土圧と地山の変形について、土木学会第23回年次学術講演会講演概要 III-108, 1968, pp. 275-276.
 - 5) 高橋彦治：チューブル土圧の測定方法と現況、第3回チューブル工学シンポジウム、1966, pp. 17-28.
 - 6) 島田隆夫・飯塚全：チューブルの掘削時に伴う地表沈下測定例について、第5回チューブル工学シンポジウム、1969, pp. 15-34.

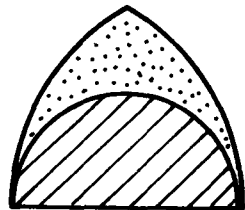


図-6 1次領域ヒチューブル上半部

